

Магнитная радиоспектроскопия (ЭПР)





ЭПР: какие вещества исследуют?

Парамагнетики:

 $\chi > 0$ (10⁻²-10⁻⁴)

μ**≠0** M=0

Частицы вещества в отсутствие поля обладают магнитными моментами. Усиливают приложенное поле.

Частицы, содержащие неспаренные электроны

Молекулы O_2 , NO, NO₂ Ионы переходных металлов Fe^{3+} Свободные радикалы CH_3



Магнетон Бора, ядерный магнетон

$$M = \gamma L$$

$$L = \hbar n$$

$$egin{aligned} \mathbf{M} = \mathbf{\gamma} \mathbf{L} \ \mathbf{L} = \hbar \mathbf{n} \end{aligned} \qquad egin{aligned} \gamma_{\kappa nac} = rac{e}{2mc} \end{aligned}$$

$$M/m = 1836,12$$

$$\mathbf{M} = \frac{e\hbar}{2mc} \mathbf{n}$$

$$\beta_e = \frac{e\hbar}{2cm_e} = 0.9274 \cdot 10^{-20} \frac{9pe}{\Gamma c} = 9.3 \cdot 10^{-24} \frac{\text{Дж}}{T\pi}$$

$$\beta_N = 5.05 \cdot 10^{-27} \frac{\text{Дэвс}}{T_{\Lambda}}$$

$$\frac{\mu_e}{\mu_N} = \frac{g_e \beta_e}{g_N \beta_N} = 658.23$$



Магнитный момент: g-фактор

$$\mu_{e} = -g\beta_{e}S$$

$$E = -(\overrightarrow{\mu_{e}}, \overrightarrow{B}) = g\beta_{e}Bm_{S}$$

$$|\beta\rangle \ m_{S} = -\frac{1}{2} \ \mu_{e} = -g\beta_{e}(-\frac{1}{2}) \quad E = -\mu_{e}B < 0$$

$$|\alpha\rangle \ m_{S} = +\frac{1}{2} \ \mu_{e} = -g\beta_{e}(\frac{1}{2}) \quad E = -\mu_{e}B > 0$$

$$g = 1$$

L орбитальный момент

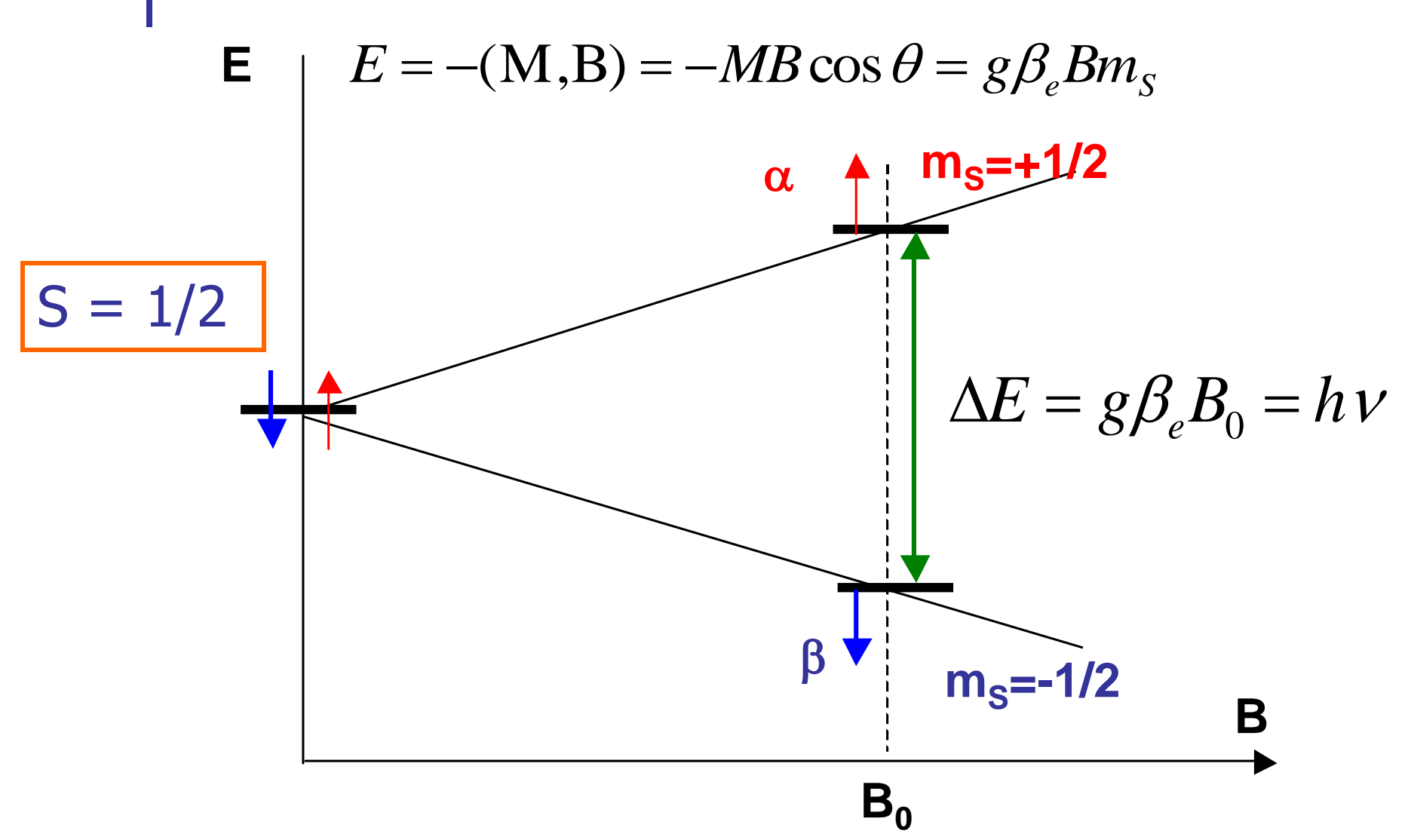
 $g \approx 2 (= 2,0023)$ S спин электрона

$$g = 1 + \frac{S(S+1) - L(L+1) + J(J+1)}{2J(J+1)}$$

g = 1 - 4



Магнитный момент в магнитном поле





Магнитный момент в магнитном поле

Ларморова прецессия

$$v = \frac{g\beta_e B_0}{h} = \gamma B_0$$

$$\gamma_e = 28025 M\Gamma u / T\pi \qquad \frac{\mu_e}{\mu_N} = \frac{g_e \beta_e}{g_N \beta_N} = 658.23$$

$$\gamma_H = 42,6 M\Gamma u / T\pi \qquad \frac{\mu_e}{\mu_N} = \frac{g_e \beta_e}{g_N \beta_N} = 658.23$$

Релаксация
$$T_2 = 10^{-6} - 10^{-8}$$
 сек

Форма линии
$$g(\omega) = \frac{T_2}{\pi} \frac{1}{1 + T_2^2 (\omega - \omega_0)^2}$$
 $g(\omega) = \frac{T_2}{\sqrt{2\pi}} \exp\left[-\frac{1}{2T_2^2 (\omega - \omega_0)^2}\right]$

Ширина линии

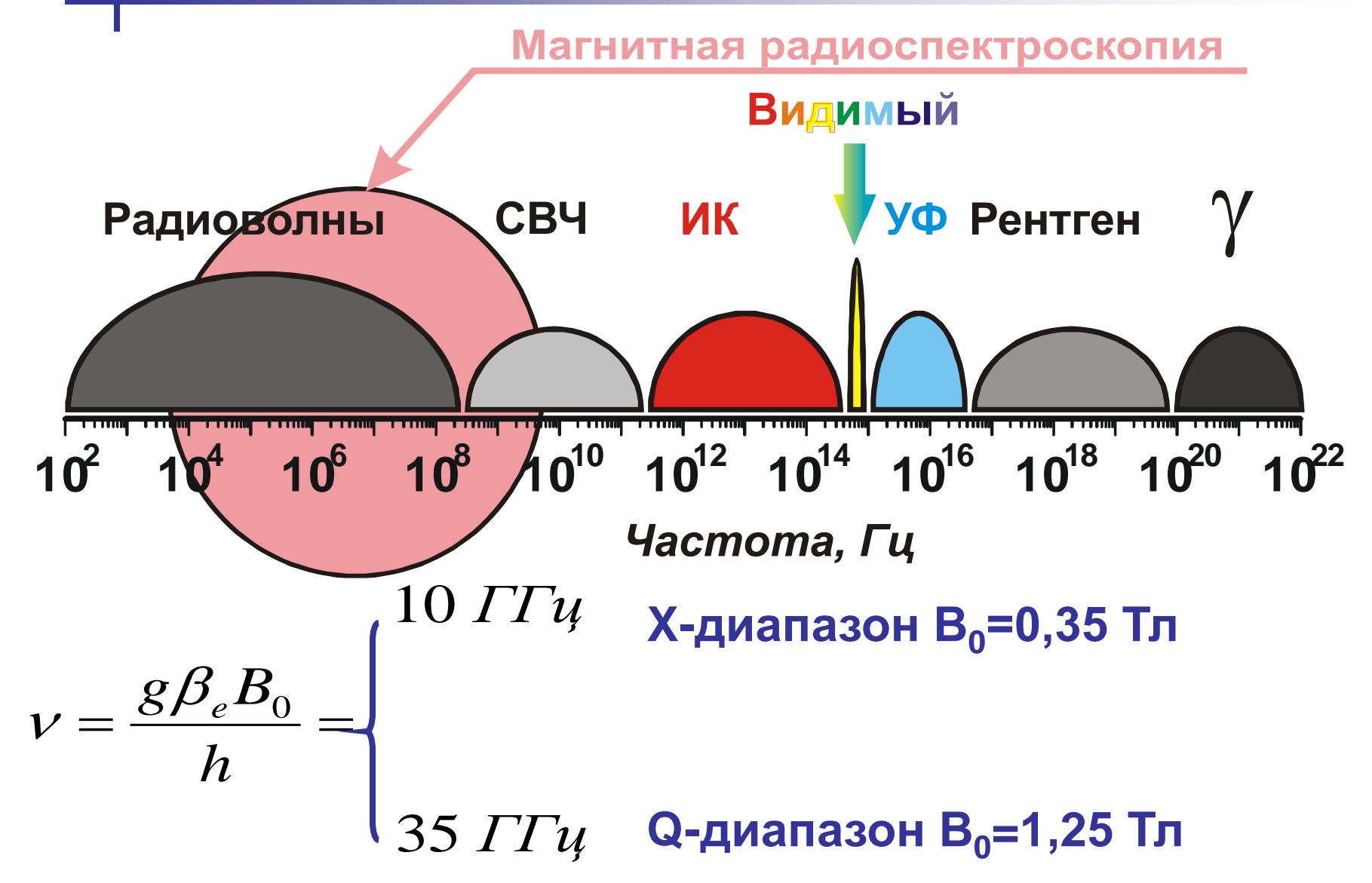
$$\delta v = \frac{1}{\pi T_2} \sim 3 M \Gamma \psi \qquad \delta v_H \to 1 \Gamma \psi$$

Интенсивность $\frac{dE}{dt} = \frac{N}{2} \frac{(g\beta_e B_0)^2}{kT(1+PT_1)} P$

Чувствительность ~ 10¹¹ штук

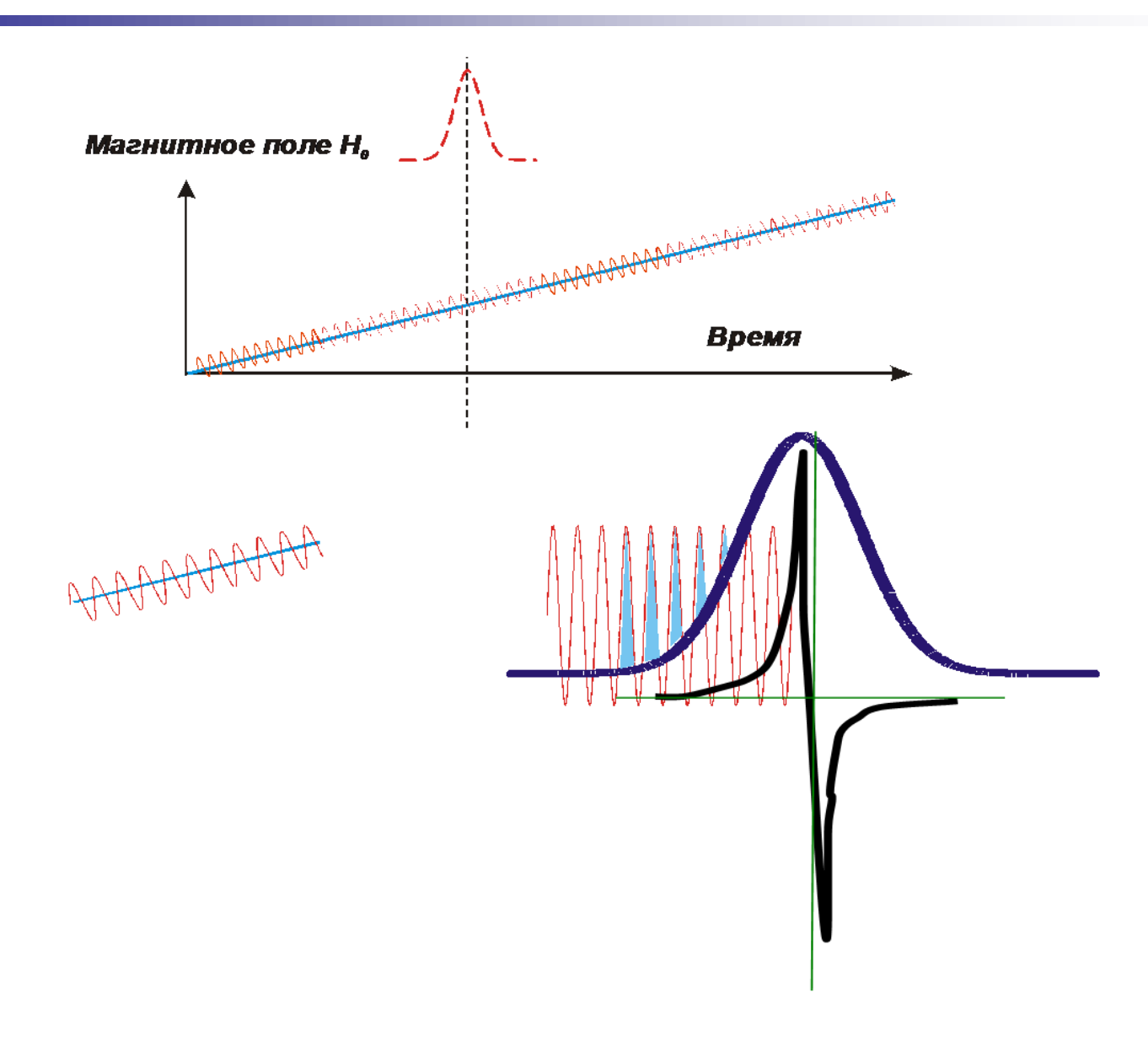


Шкала частот электромагнитных волн





Модулированное детектирование





Атом водорода

$$H_{0} = g_{e}\beta_{e}BS_{z} - g_{N}\beta_{N}BI_{z}$$

$$H_{1} = a(\overline{IS}) = a(I_{x}S_{x} + I_{y}S_{y} + I_{z}S_{z})$$

$$a = \frac{8\pi}{3}g_{e}\beta_{e}g_{N}\beta_{N}|\psi(0)|^{2}$$

$$|\psi(0)|_{H}^{2} = 2.15 \cdot 10^{24} \text{ электр / см}^{3}$$

$$a_{H} = 1420.4 \text{ MF } \mu = 50 \text{ MTA}$$

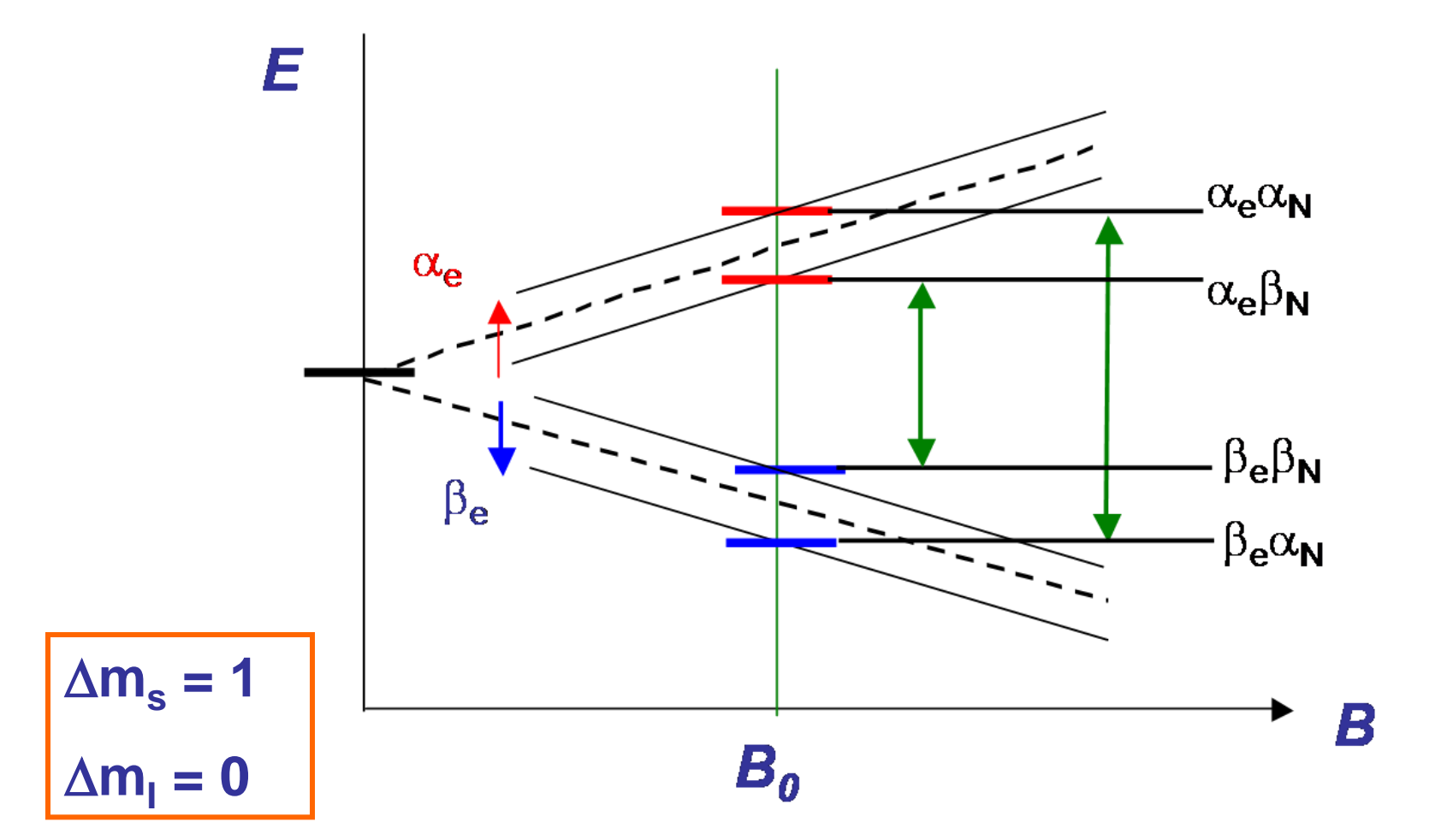
$$H = g_{e}\beta_{e}BS_{z} - g_{N}\beta_{N}BI_{z} + a\overline{IS}$$

$$\varphi_1 = |\alpha_e \alpha_N\rangle, \quad \varphi_2 = |\alpha_e \beta_N\rangle, \quad \varphi_3 = |\beta_e \alpha_N\rangle, \quad \varphi_4 = |\beta_e \beta_N\rangle$$



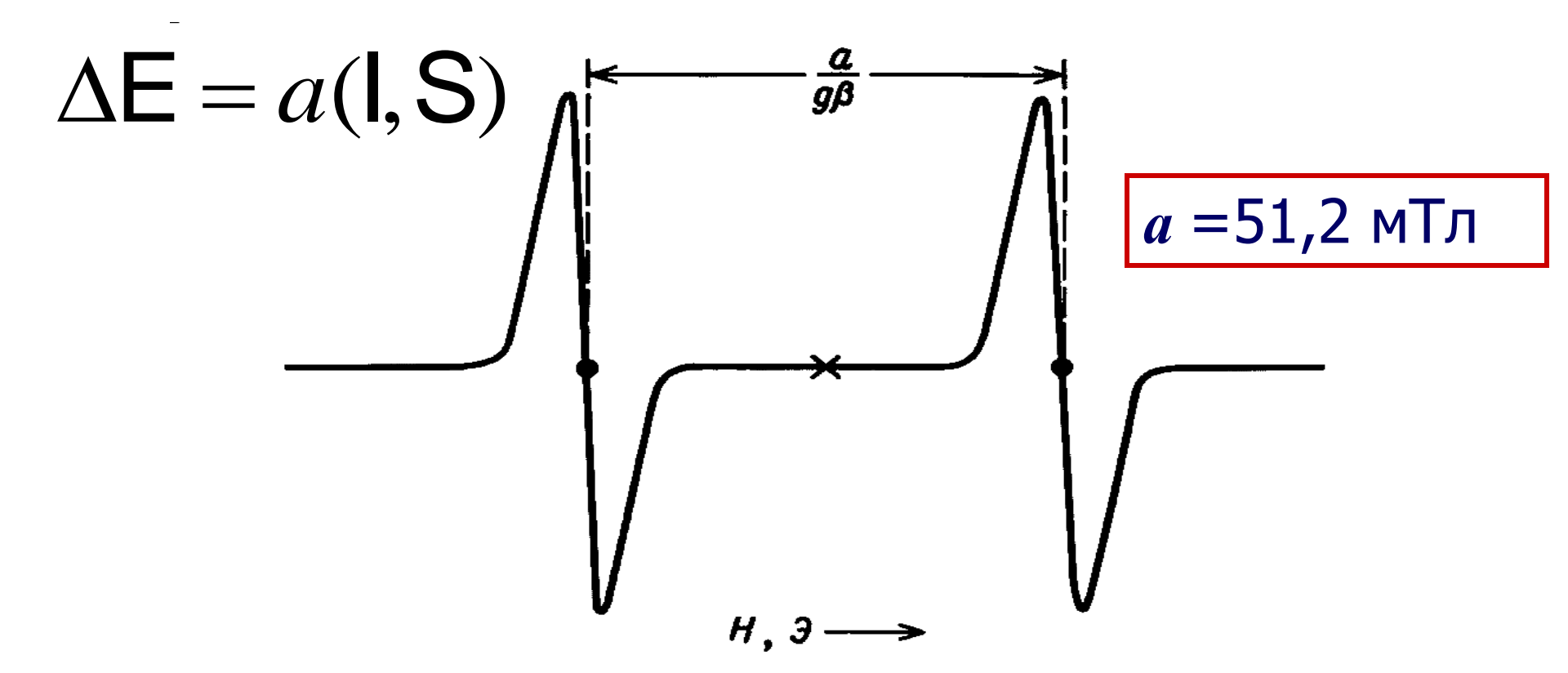
Сверхтонкое расщепление: взаимодействие с протоном

$$E = g_e \beta_e B m_S - (g_N \beta_N B m_I) + a m_S m_I$$
$$\varphi_1 = |\alpha_e \alpha_N\rangle, \quad \varphi_2 = |\alpha_e \beta_N\rangle, \quad \varphi_3 = |\beta_e \alpha_N\rangle, \quad \varphi_4 = |\beta_e \beta_N\rangle$$





Атом водорода

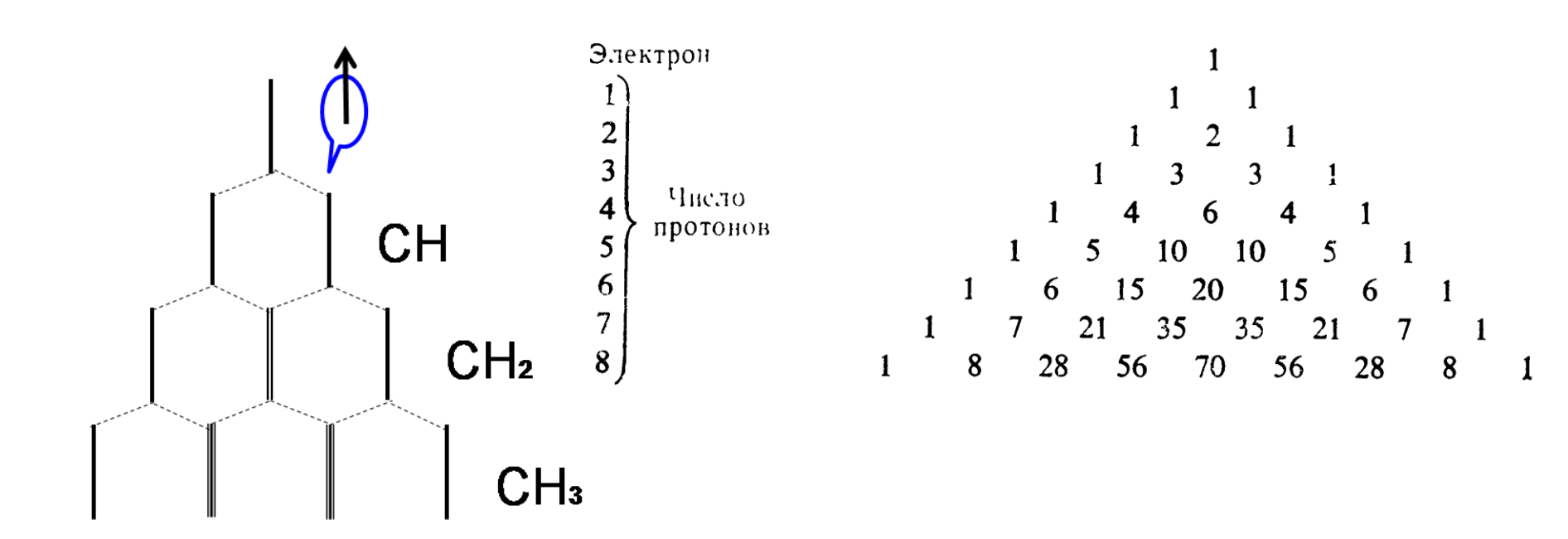


Спектр ЭПР атома водорода

$$[a] = Дж$$
 $\left[\frac{a}{h}\right] = \Gamma y$ $\left[\frac{a}{g\beta}\right] = T\pi$



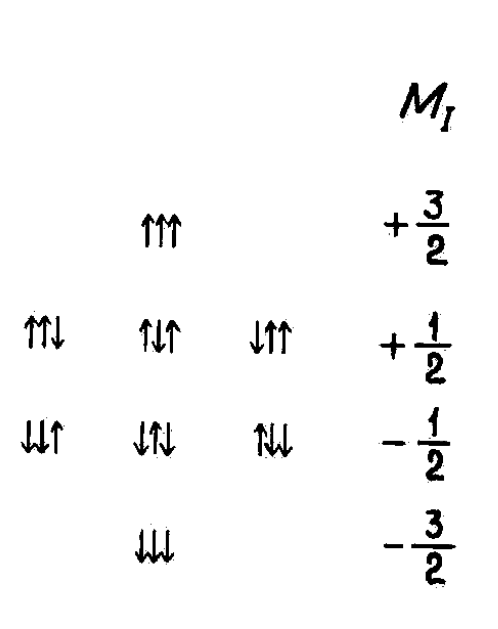
Сверхтонкое расщепление на эквивалентных протонах CH₃•

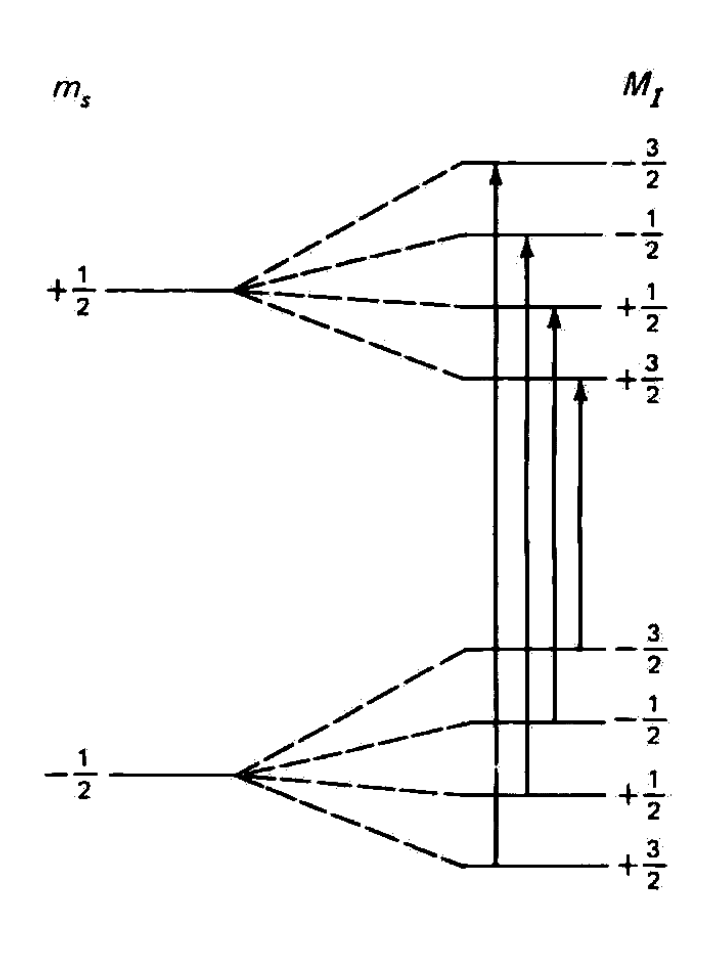




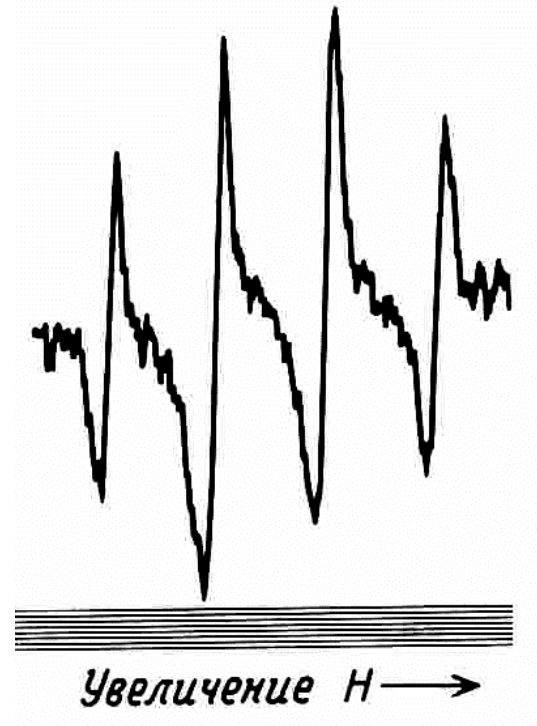
Сверхтонкое расщепление на эквивалентных протонах CH₃•

$$51,2 MTл = R_H$$









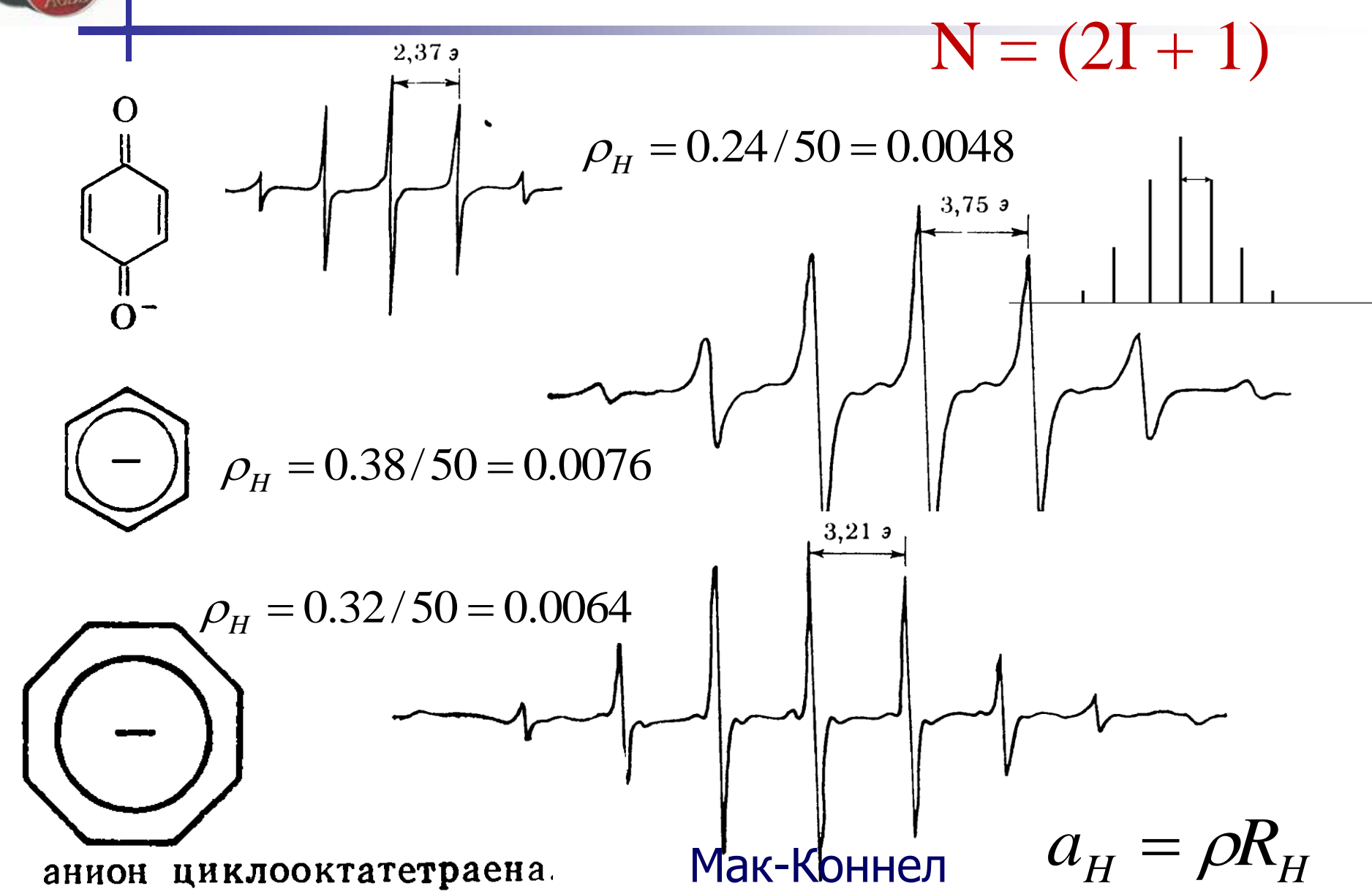
$$N = 2I + 1$$

Уравнение Мак-Коннела

 $a_H = \rho R_H$

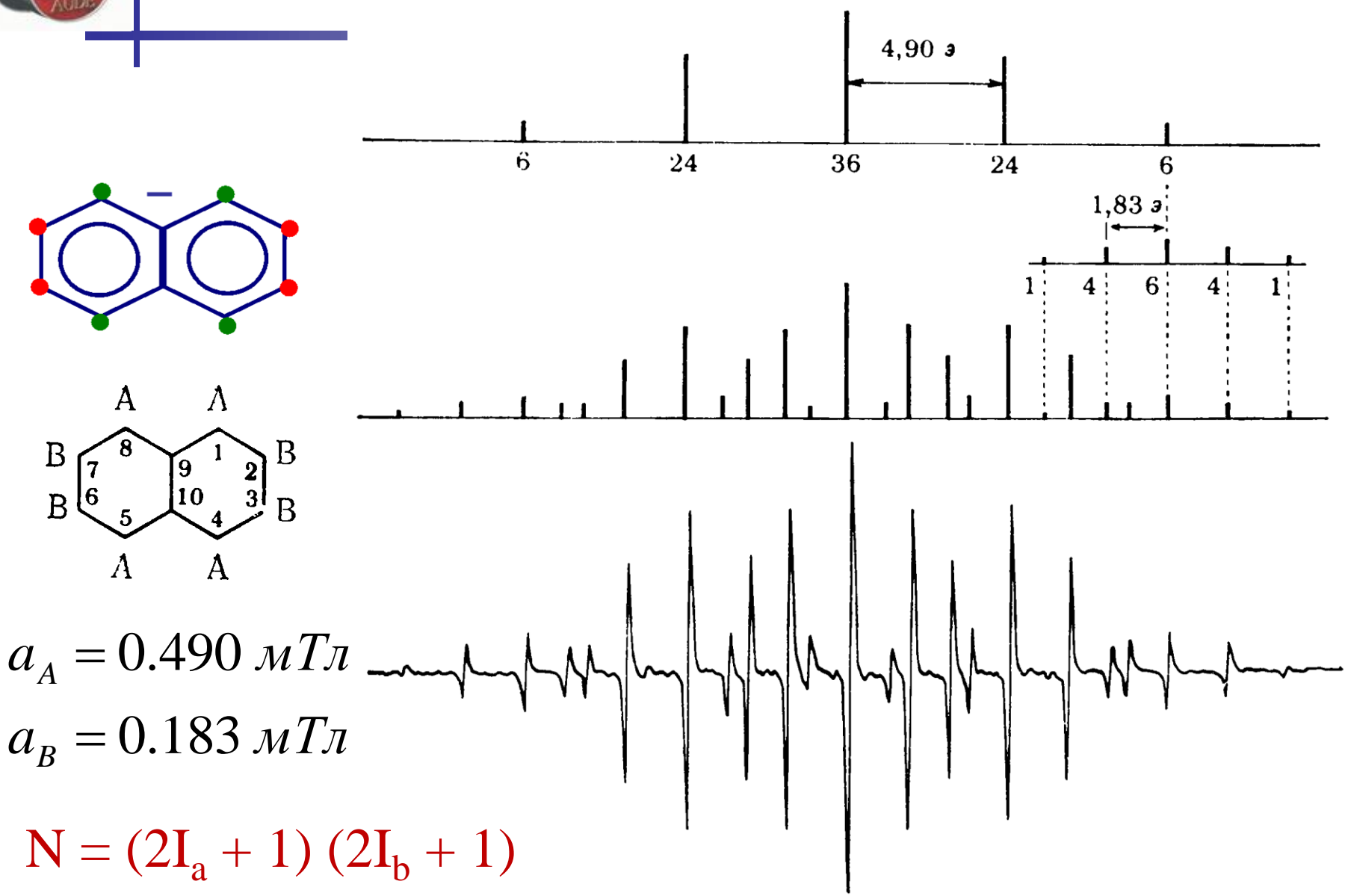


Расщепление на эквивалентных протонах



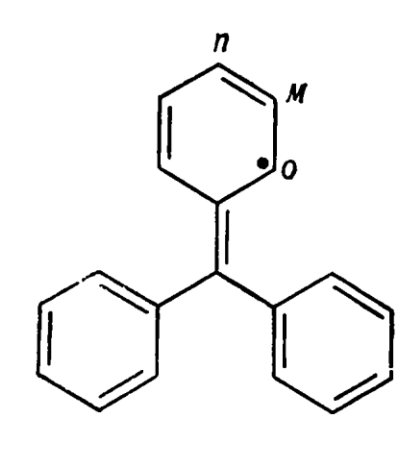


Расщепление на неэквивалентных протонах

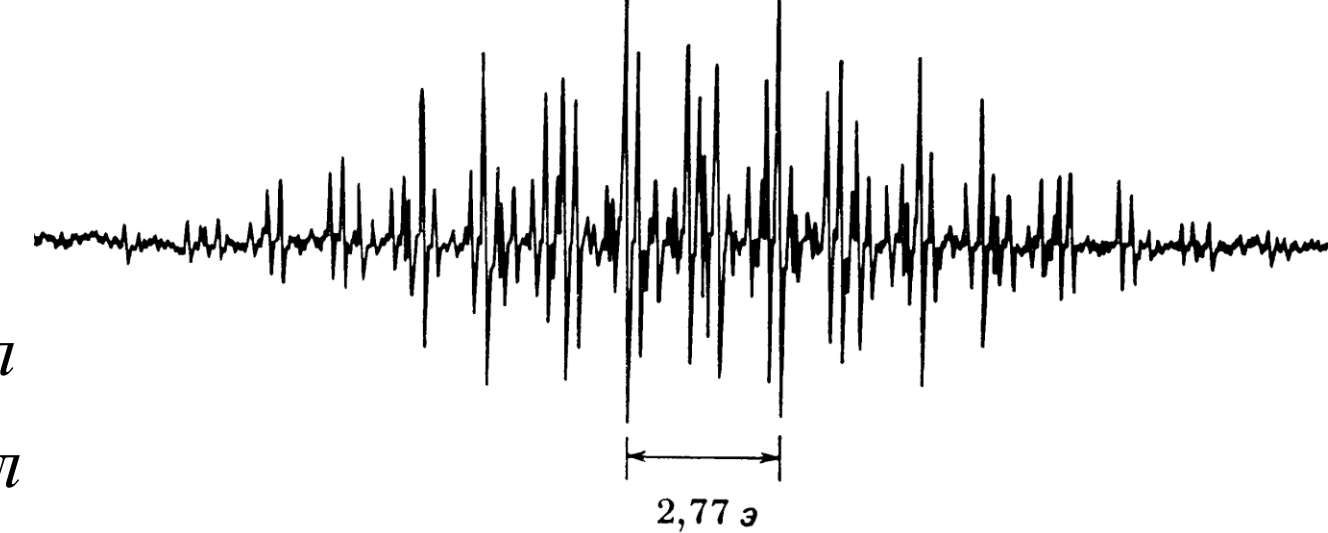




Сверхтонкое расщепление: неэквивалентные ядра



Трифенилметил



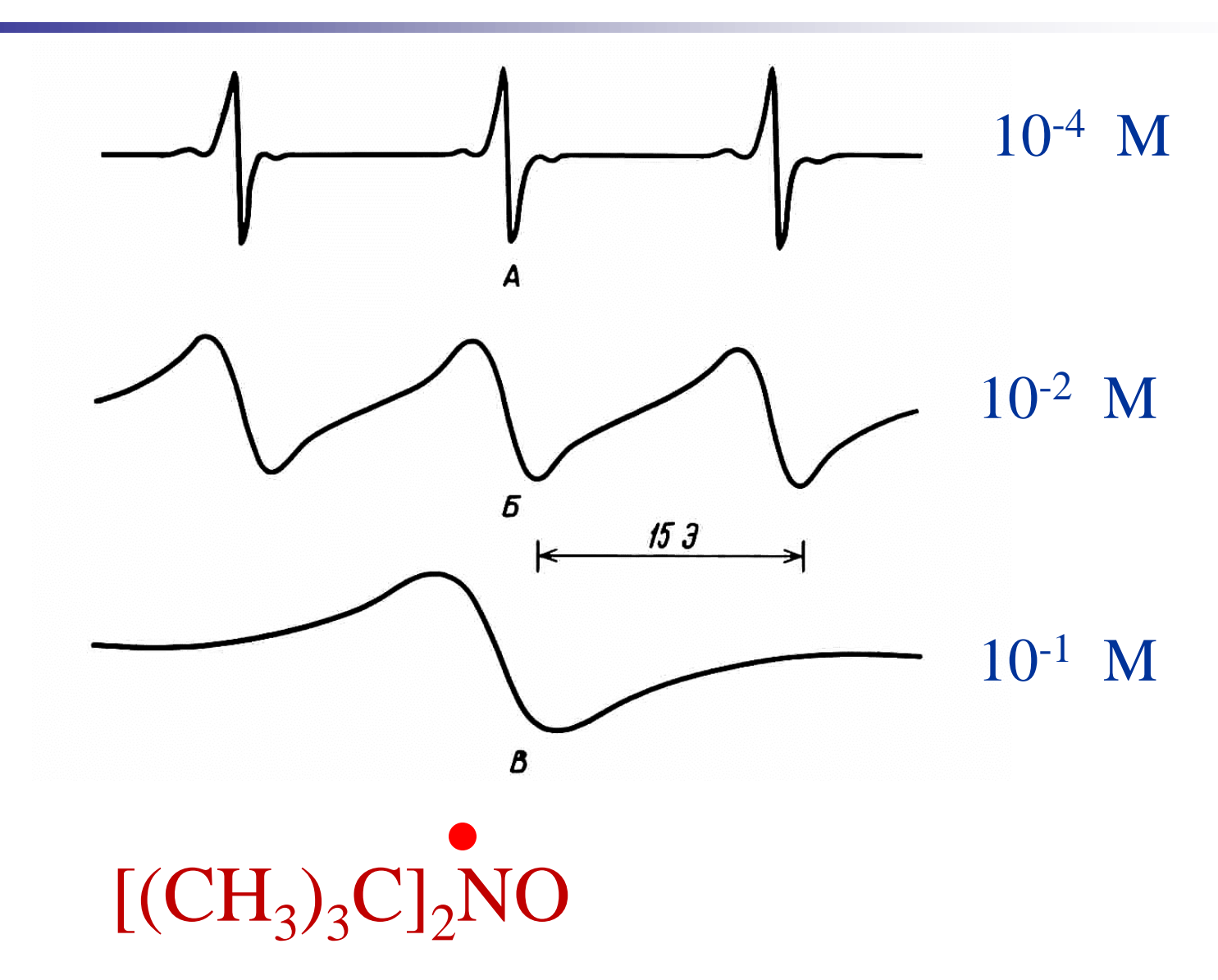
$$a_o = 0.253 \text{ } MT\pi$$
 $a_M = 0.111 \text{ } MT\pi$
 $a_n = 0.277 \text{ } MT\pi$

$$N = (2I_a + 1) (2I_b + 1)(2I_c + 1)(...$$



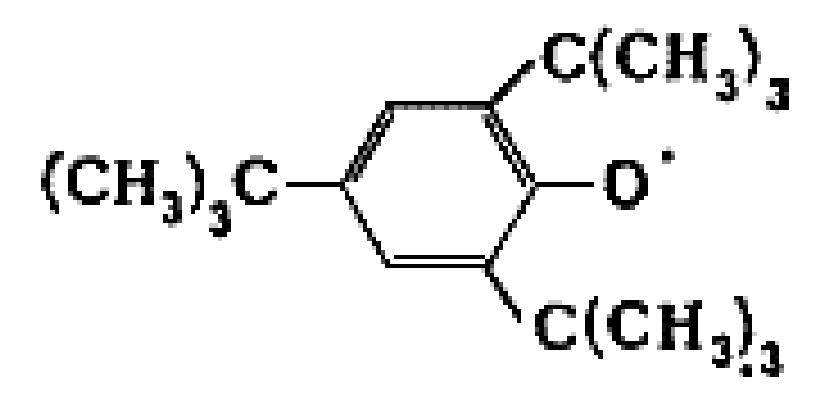
Ширина лини: динамика

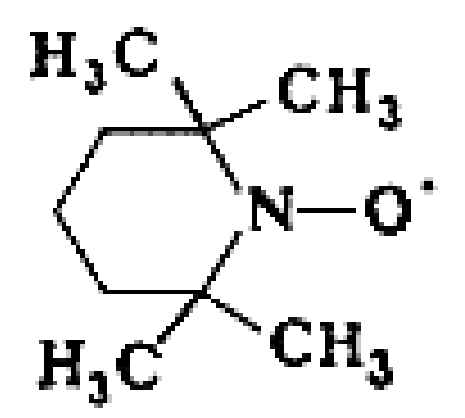
 $\Delta E \tau \approx \hbar$

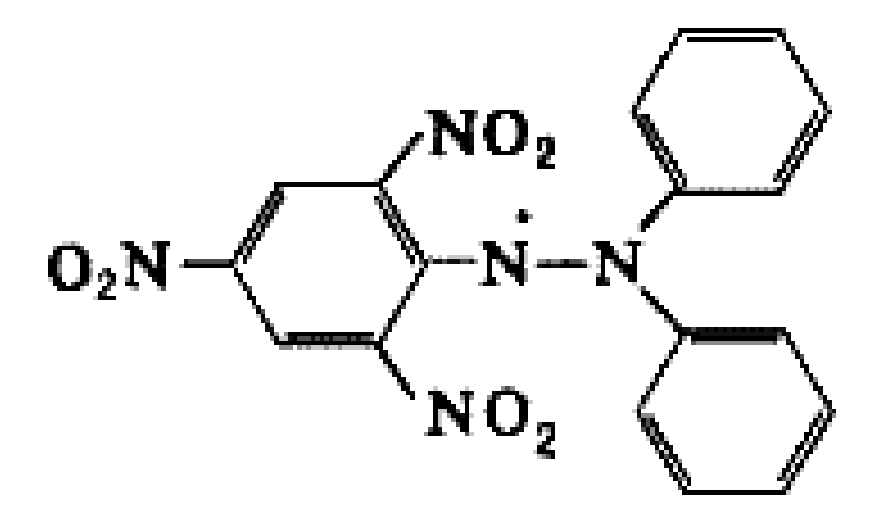




ЭПР – Стабильные радикалы



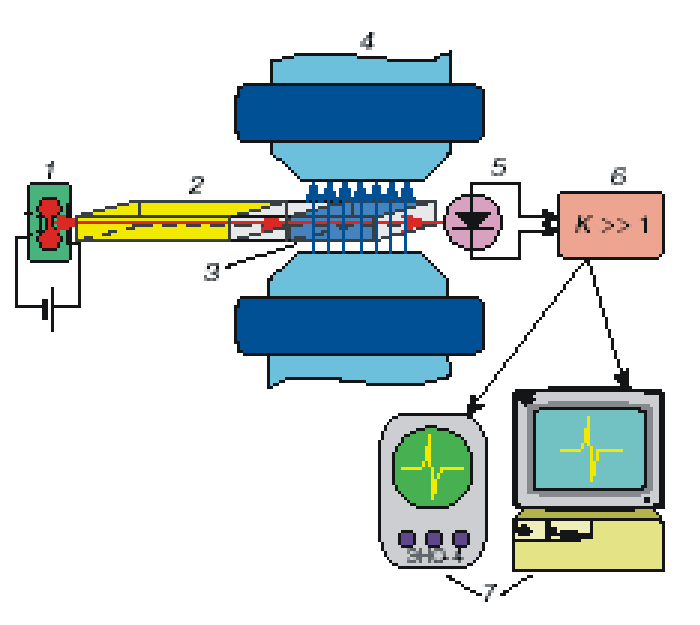




$$\frac{F_3C}{F_3C}N-0$$



Схема ЭПР - спектрометра





Bruker, ELEXSYS E540 GCR

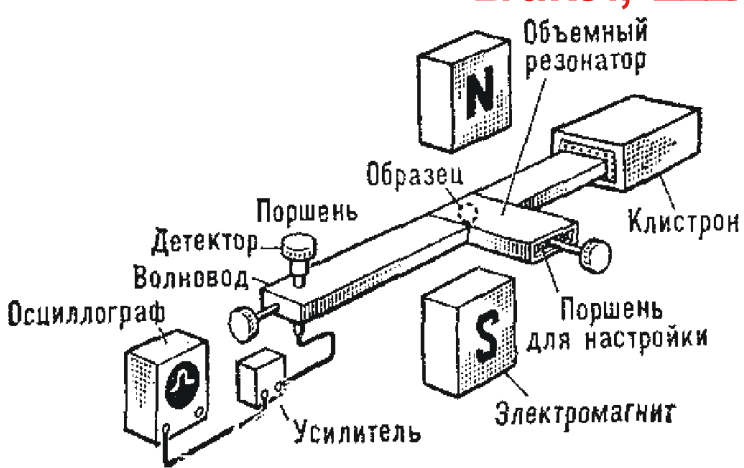


Схема спектрометра ЭПР.



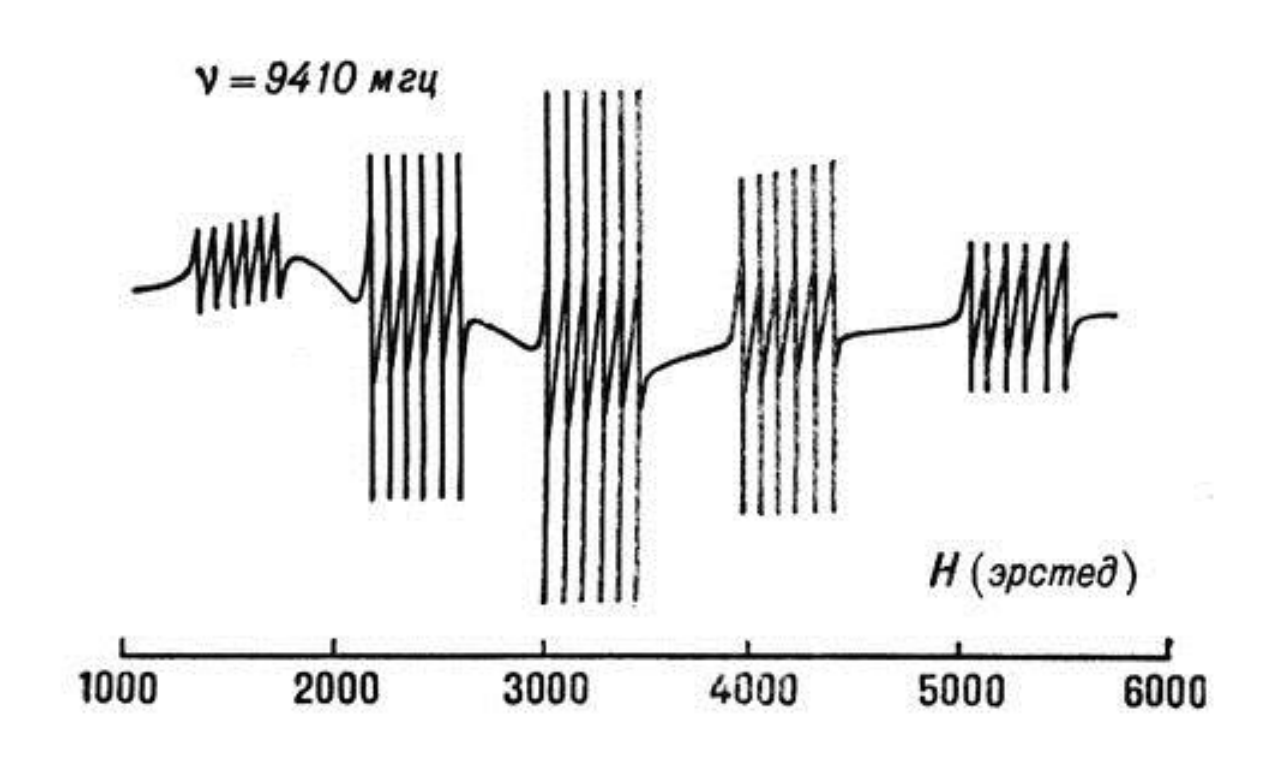
ЭПР – приложения

Любое агрегатное состояние

Радиационная химия, фотохимия, катализ, окисление и горение, органические радикалы, Полимеры



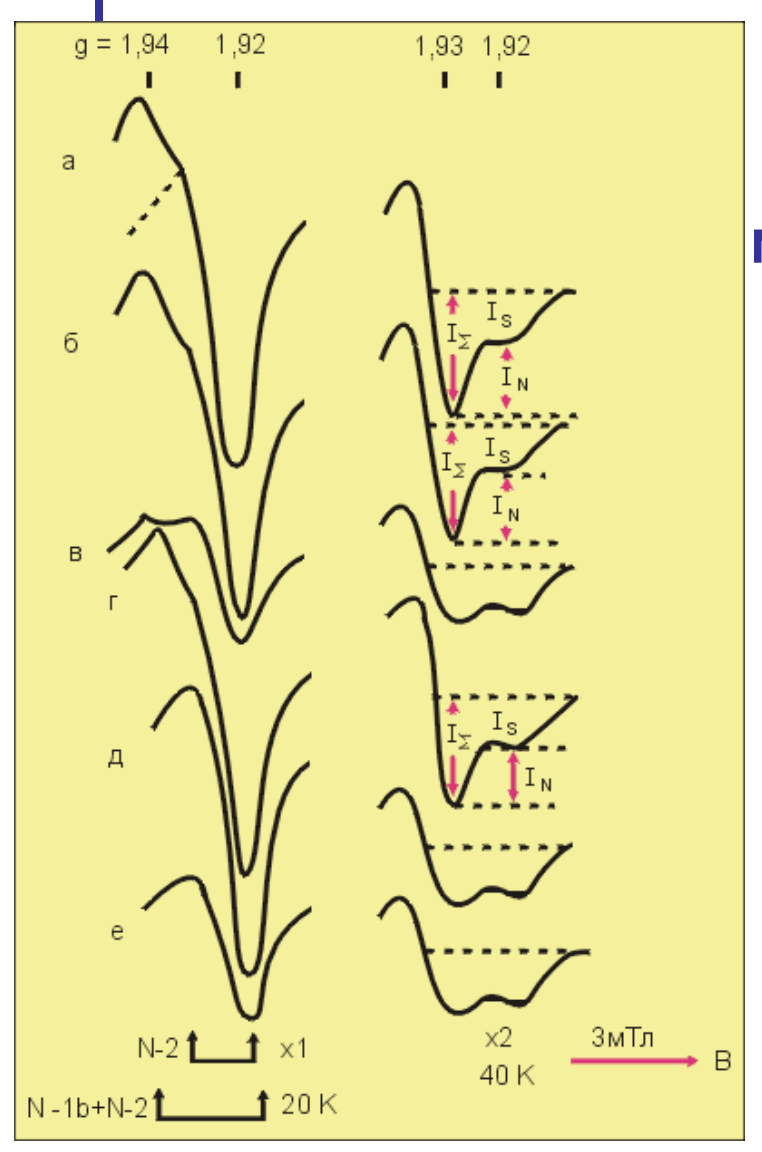
Приложения ЭПР - катализ



Спектр ЭПР иона марганца в кристалле метасиликата



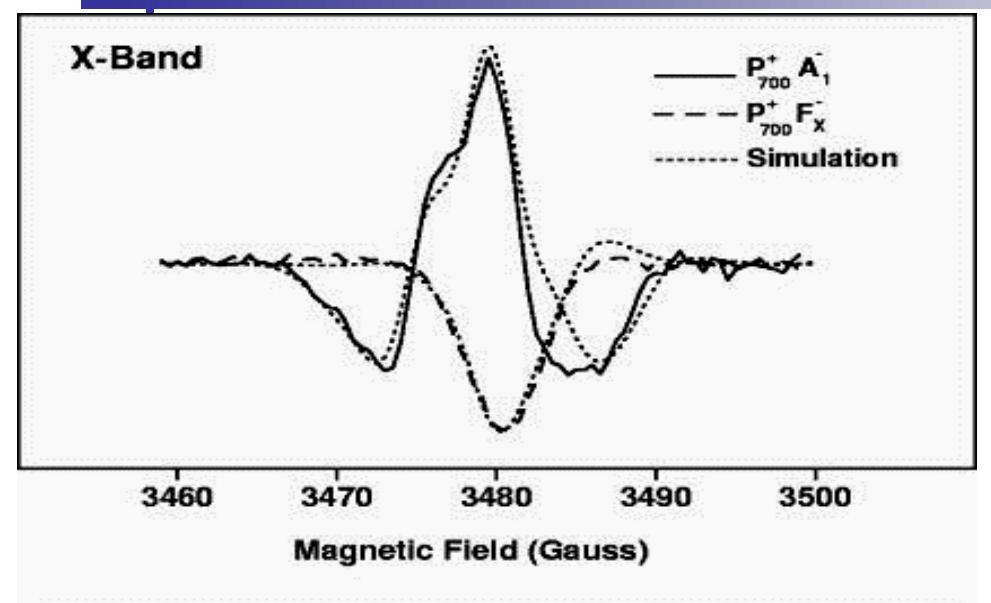
Приложения ЭПР - биология

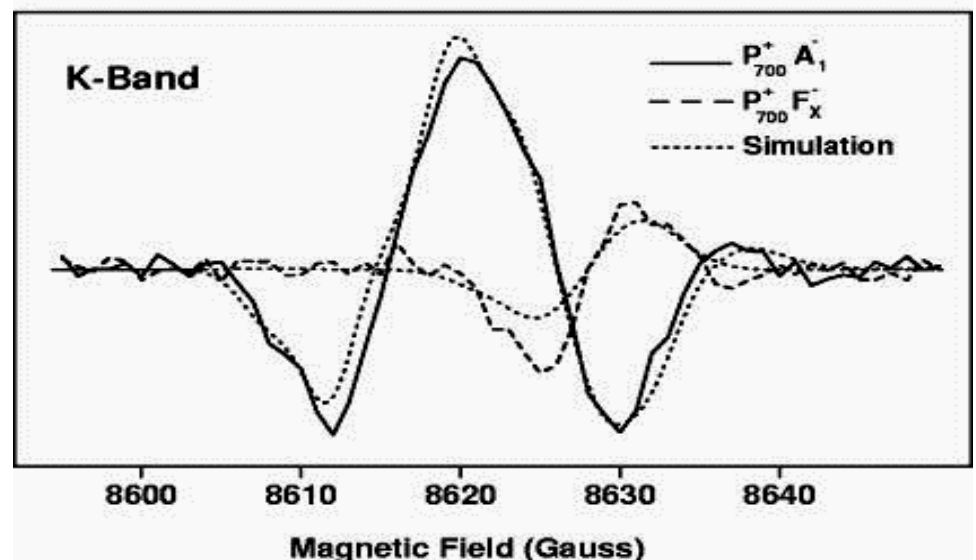


ЭПР - спектры (в области g = 1,90-1,95) митохондрий E. magnusii из клеток



Приложения ЭПР - фотосинтез

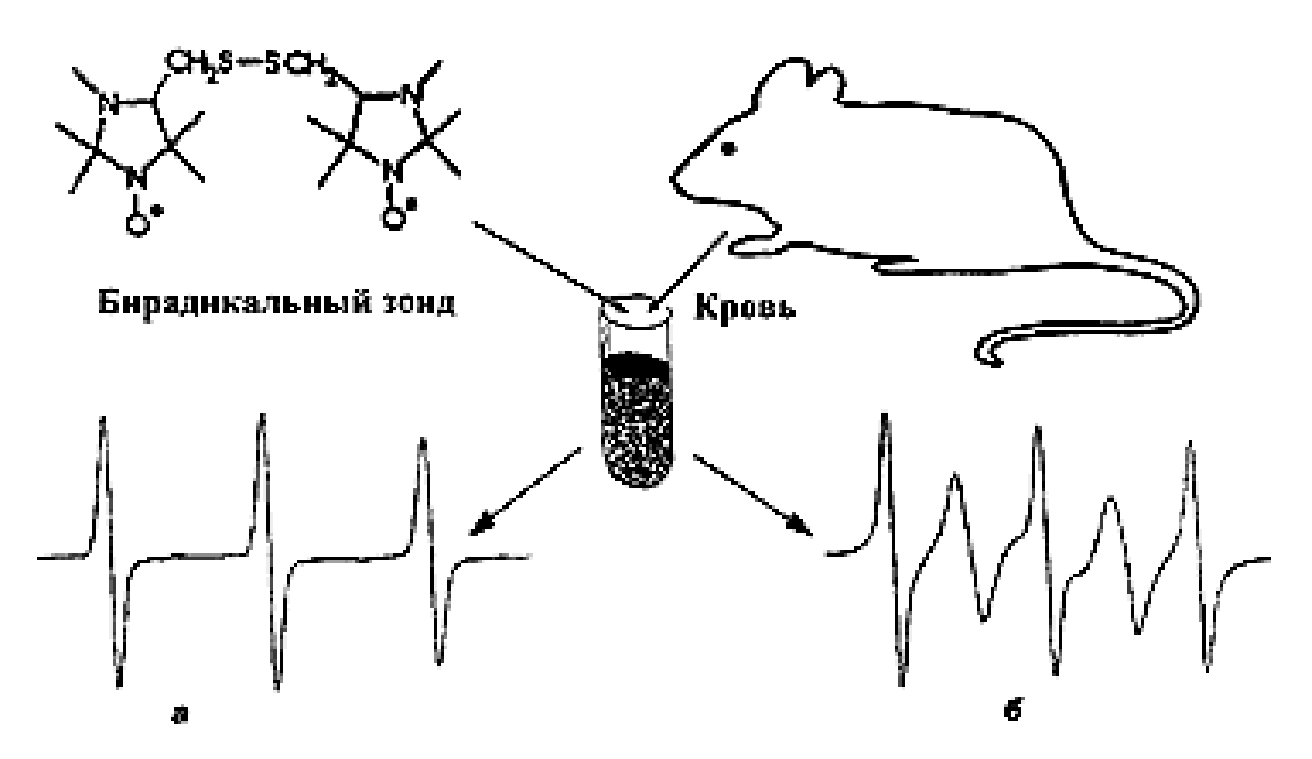




спектры ЭПР разделенных зарядов в реакционном центре фотосистемы 1



Приложения ЭПР - медицина



Метод определения тиолов в крови. а - спектр ЭПР радикала, образующегося из бирадикального зонда в крови здоровых крыс (в результате взаимодействия с тиолами);



Литература ЯМР и ЭПР

Абрагам А. Ядерный магнетизм. М.:ИЛ, 1963.

Керрингтон А., Мак-Лечлан Э. Магнитный резонанс и его применение в химии — М., 1970.

Эмсли Дж., Финей Дж., Сатклиф Л. Спектроскопия ядерного магнитного резонанса высокого разрешения. Т. 1,2. М.: Мир, 1968.

Фаррар Т., Беккер Э. Импульсная и Фурье спектроскопия ЯМР. М.: Мир, 1973.

Маклочан К.А. Магнитный резонанс. М.: Химия, 1976.

Сликтер Ч. Основы теории магнитного резонанса. М.: Мир, 1981 (1967).

Драго Р. Физические методы в химии, - М.: Мир, 1981.Т.1,2.

Бенуэлл К. Основы молекулярной спектроскопии. М., Мир 1985.

Blumich B. Essential NMR. Springer, 2005

Эрнст Р., Боденхаузен Дж., Вокаун А. ЯМР в одном и двух измерениях. — М.: Мир, 1990.